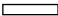




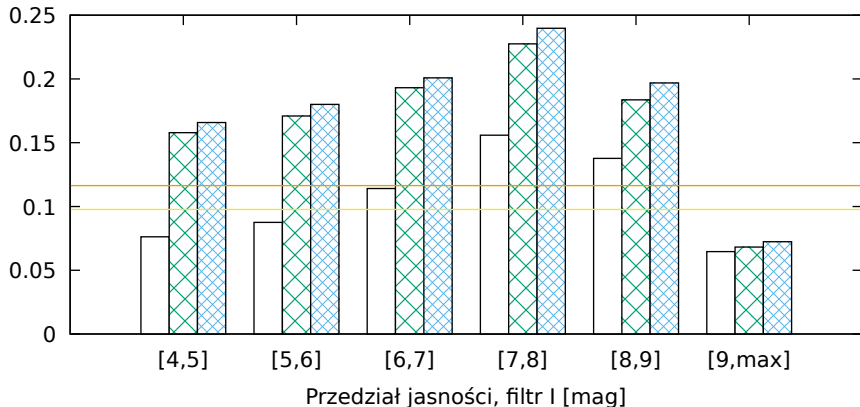
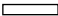






MS-MS,  $q > 0.5$    
 układy MS-MS   
 MS-MS, MS-comp   
 $f_{\text{bin}}$  globalne   
 MS-MS z  $q > 0.5$  dla jasności [4,7] mag 

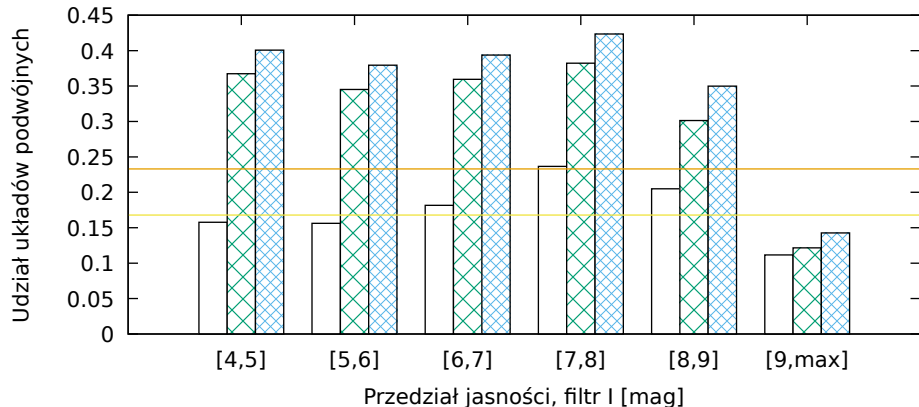
Rozkład  $f_{\text{bin}}$  w przedziałach jasności w filtrze I - diogo-ibp-modified-1

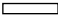



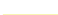
Udział układów podwójnych



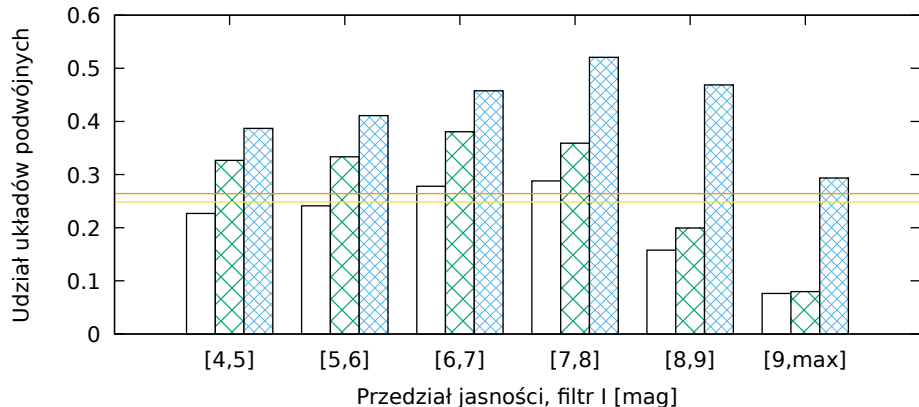
MS-MS,  $q > 0.5$    
 układy MS-MS   
 MS-MS, MS-comp   
 $f_{\text{bin}}$  globalne   
 MS-MS z  $q > 0.5$  dla jasności [4,7] mag 

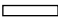




Rozkład  $f_{\text{bin}}$  w przedziałach jasności w filtrze I - diogo-ibp-modified-2



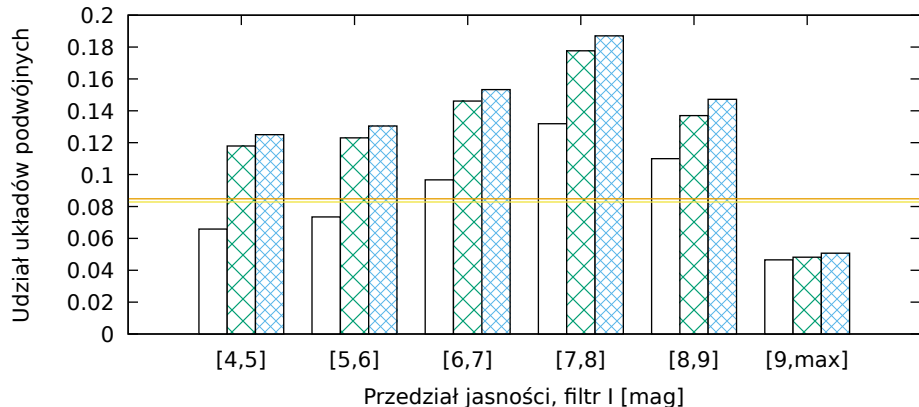
- MS-MS,  $q > 0.5$  
- układy MS-MS 
- MS-MS, MS-comp 
- $f_{\text{bin}}$  globalne 
- MS-MS z  $q > 0.5$  dla jasności [4,7] mag 

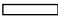




Rozkład  $f_{\text{bin}}$  w przedziałach jasności w filtrze I - diogo-ibp-modified-3



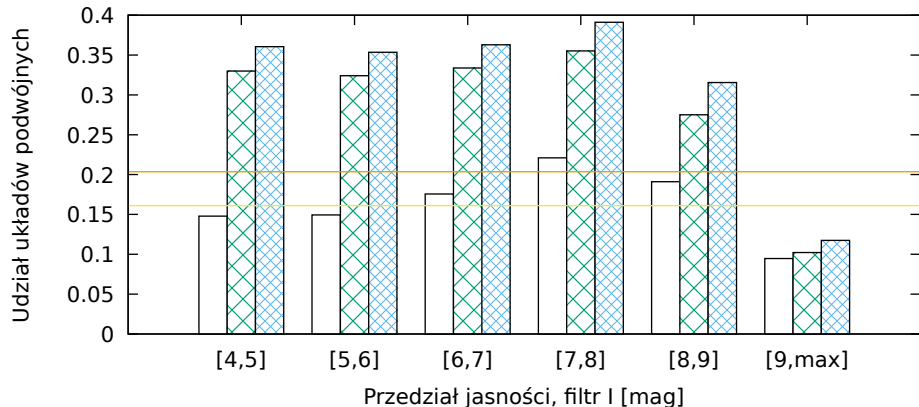
MS-MS,  $q > 0.5$    
 układy MS-MS   
 MS-MS, MS-comp   
 $f_{\text{bin}}$  globalne   
 MS-MS z  $q > 0.5$  dla jasności [4,7] mag 

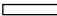




Rozkład  $f_{\text{bin}}$  w przedziałach jasności w filtrze I - diogo-ibp-modified-4



MS-MS,  $q > 0.5$    
 układy MS-MS   
 MS-MS, MS-comp   
 $f_{\text{bin}}$  globalne   
 MS-MS z  $q > 0.5$  dla jasności [4,7] mag 

Rozkład  $f_{\text{bin}}$  w przedziałach jasności w filtrze I - diogo-ibp-modified-5



MS-MS,  $q > 0.5$    
 układy MS-MS   
 MS-MS, MS-comp   
 $f_{\text{bin}}$  globalne   
 MS-MS z  $q > 0.5$  dla jasności [4,7] mag 

Rozkład  $f_{\text{bin}}$  w przedziałach jasności w filtrze I - diogo-ibp-modified-6

Udział układów podwójnych

